

переноса;  $\phi$  — стехиометрический коэффициент;  $Q$  — теплота сгорания;  $L$  — теплота газификации;  $C_{ps}$  — теплоемкость;  $T_s$  — температура к-фазы полимера;  $T_0$  — температура окружающей среды.

Таким образом, приведенные результаты показывают, что в критических условиях диффузионного горения полимера распределение температур и скорость выгорания материала зависят от теплофизических свойств инертного разбавителя в окислительной атмосфере. Предельная массовая концентрация кислорода имеет функциональную связь с теплоемкостью инертного разбавителя.

#### ЛИТЕРАТУРА

- Рыбанин С. С. // Докл. АН СССР. — 1977. — 235, № 5. — С. 1110.
- Chung S. H., Law C. K. // Comb. Flame. — 1983. — 52, N 1. — P. 59.
- Рыбанин С. С., Соболев С. Л. // Хим. физика. — 1986. — 5, № 5. — С. 680.
- Асеева Р. М., Заиков Г. Е. Горение полимерных материалов. — М.: Наука, 1981, с. 280.
- Кузьменко К. П. и др. // Изв. техника. — 1988. — № 2. — С. 40.
- Martin F. J. // Comb. Flame. — 1968. — 12, N 2. — P. 125.

г. Балашиха

Поступила в редакцию 20/IX 1989

УДК 546

К. Л. Епишин, А. Н. Питюлин

### ВЛИЯНИЕ НЕКОТОРЫХ ПАРАМЕТРОВ НА ГОРЕНИЕ СИСТЕМЫ Zr + C

Изучено горение системы Zr + C. Выявлены основные факторы, определяющие параметры горения реакционной смеси. Скорость и максимальная температура горения во многом определяются маркой применяемого порошка циркония. Получены зависимости параметров горения системы Zr + C от содержания компонентов и времени смешения шихтового состава, относительной плотности и диаметра исследуемого образца.

Карбид циркония относится к числу наиболее тугоплавких соединений, а некоторые сложные композиции на его основе (типа  $4\text{ZrC} + \text{HfC}$ ,  $4\text{ZrC} + \text{TaC}$ ) обладают температурой плавления  $T_{пл} > 4000^{\circ}\text{C}$ . Высокий тепловой эффект реакции образования карбида циркония свидетельствует, что подобные композиционные материалы могут быть синтезированы методом СВС [1, 2]. Однако литературные данные содержат крайне мало сведений о закономерностях горения системы Zr + C [3, 4], без выявления которых невозможно определить оптимальные условия получения тугоплавких композиций. В цели настоящей работы входило изучение влияния различных параметров на закономерности взаимодействия Zr с C в режиме горения.

Для приготовления шихтовых составов использовались порошки циркония марок ПЦрК-1, ПЦрК-3, ПЦрН-В (см. таблицу) и сажа марки ПМ-15ТС. Порошкообразные компоненты смешивались в стальных шаровых мельницах в среде технического этилового спирта. Шихта просушивалась в шкафу типа ШСВА-2,4 и формовалась на ручном гидравли-

Марка по- рошка	ТУ	Содержа- ние Zr, %		Остаток на сите 0045, %	H <sub>2</sub> , %	$T_{max}$ (°C) при $d$ , мм					$u$ (см/с) при $d$ , мм				
		общее	активно- го			5	10	15	20	25	5	10	15	20	25
ПЦрК-1	48-4-234-84	98,2	96,4	48	0,11	2200	3000	3000	3000	—	1,9	3,6	3,6	3,6	—
ПЦрК-3	48-4-234-84	96,8	91,3	50	0,14	1950	2550	2800	2800	2800	1,1	2,4	2,9	2,9	2,9
ПЦрН-В	48-4-376-84	93,8	68,9	40	0,26	*	*	1800	2200	2200	*	*	0,35	1,0	1,0

П р и м е ч а н и е.  $\theta = 60-65\%$ ,  $\tau = 2$  ч для ПЦрК-1, ПЦрК-3 и 40 ч для ПЦрН-В;  
\* — горения нет.

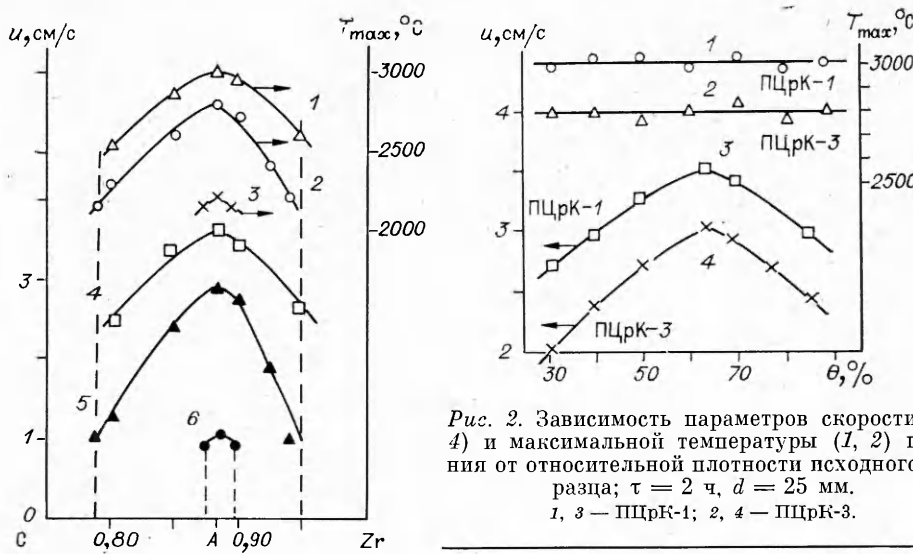


Рис. 1. Зависимость скорости (4—6) и максимальной температуры (1—3) горения шихт состава Zr + C от соотношения компонентов.

1, 4 — ПЦрК-1; 2, 5 — ПЦрК-3; 3, 6 — ПЦрН-В.  $\theta = 60 \pm 65\%$ ,  $d = 25$  мм; время смешения  $\tau$ , ч: 1, 2, 4, 5 — 2; 3, 6 — 40. Штриховые линии — профили горения. Точка A — стехиометрия.

ческом прессе в таблетки диаметром  $d = 5 \div 25$  и высотой  $25 \div 30$  мм с относительной плотностью  $\theta = 30 \div 70\%$ . Параметры горения шихтовых составов определяли в бомбе постоянного давления в атмосфере аргона с помощью двух вольфрамренниевых термопар диаметром 100 мкм, выведенных на светолучевой осциллограф типа Н-115, по известной методике [5].

Проведенные эксперименты показали, что параметры горения смесей Zr + C в значительной степени зависят от марки применяемого порошка циркония. На рис. 1 приведены зависимости скорости  $u$  и максимальной температуры  $T_{\max}$  горения от соотношения компонентов в шихтах состава Zr + C, приготовленных на основе различных марок циркония (состав шихт рассчитывался с учетом общего содержания циркония). Вид зависимостей во всех случаях одинаков и представляет собой кривую с максимумом, который приходится на стехиометрический состав. Наибольшими  $u$  и  $T$  обладает шихта на основе циркония ПЦрК-1 (см. рис. 1, 1, 4), наименьшими — на основе ПЦрН-В (кривые 3, 6).

ПЦрН-В содержит значительное количество примесей, к тому же поверхность большей части частиц порошка (более 50 %) запасирована. Наличие более тугоплавкой, чем сам цирконий, окисной пленки на поверхности частиц приводит к тому, что для осуществления процессов плавления и капиллярного растекания Zr во фронте горения требуются существенно большие времена, чем в случае применения чистых порошков (ПЦрК-1). Это и обуславливает значительное снижение параметров горения.

Падение скорости величин  $u$  и  $T_{\max}$  шихты при отклонении от стехиометрии в ту или иную сторону определяется тем обстоятельством, что избыток любого компонента играет роль инертного разбавителя. Смеси, приготовленные на основе порошков ПЦрК-1 и ПЦрК-3, имеют широкую область горения по составу, а шихта на основе ПЦрН-В уже при небольшом отклонении от стехиометрического состава не горит. Это объясняется очень низкой реакционной способностью ПЦрН-В (массовое содержание активного Zr 68,9 %, для ПЦрК-1 — 96,3 %), что приводит к увеличению эффективного масштаба гетерогенности системы и значительным диффузионным затруднениям, в результате только малая часть продукта образуется в волне горения и появляется обширная область догорания. Даже при небольшом отклонении от стехиометрического соста-

Рис. 2. Зависимость параметров скорости (3, 4) и максимальной температуры (1, 2) горения от относительной плотности исходного об разца;  $\tau = 2$  ч,  $d = 25$  мм.  
1, 3 — ПЦрК-1; 2, 4 — ПЦрК-3.

ва, т. е. при разбавлении реакционной смеси «инертным» компонентом, тепла, выделяющегося во фронте, оказывается недостаточно для поддержания реакции синтеза. Это подтверждается данными по определению критического диаметра, приведенными в таблице.

Влияние относительной плотности исходного образца на параметры горения проиллюстрировано на рис. 2. Вид графиков аналогичен зависимостям, полученным при исследовании горения системы  $Ti + C$  [7], причем можно отметить, что марка применяемого порошка практически не влияет на местоположение максимума, а только вносит некоторое различие в абсолютных значениях скорости и максимальной температуры горения составов, что объясняется различной реакционной способностью применяемого циркония.

В результате проведенных экспериментов установлено, что длительность смешения также оказывает влияние на процесс горения (рис. 3), причем степень воздействия этого фактора весьма высока, а вид зависимости во многом определяется маркой порошка Zr. Увеличение скорости и температуры горения во всех трех случаях обусловлено возрастанием степени гомогенизированности порошковой смеси, что приводит к уменьшению реальных диффузионных расстояний, а следовательно, и к смещению реакции горения в сторону капиллярного режима. Различный уровень значений  $u$  и  $T_{max}$  для рассмотренных марок циркония объясняется их неодинаковой реакционной способностью.

При использовании ПЦрК-1 и ПЦрК-3 (см. рис. 3, 1, 2, 4, 5) зависимости имеют ярко выраженный максимум, в то время как для ПЦрН-В (кривые 3, 6) кривые асимптотически приближаются к некоторому пределу. Учитывая данные ранее проведенных исследований [8, 9], можно выделить факторы, отвечающие за вид зависимости в каждом конкретном случае, а именно: степень гомогенизированности порошковой смеси, морфология и состояние поверхности частиц порошков, скорость протекания твердофазной реакции образования  $ZrC$  и скорость гидролиза образующегося карбида.

Следует отметить, что в данном случае определяющую роль играет второй фактор, оказывающий сильное влияние на скорость химических реакций окисления состава в процессе смешения. Порошок марки ПЦрН-В в отличие от двух других имеет частицы осколочной формы (рис. 4) со слабо развитой поверхностью, вследствие чего морфология частиц в процессе приготовления шихтового состава изменяется очень незначительно. К тому же поверхность частиц ПЦрН-В сильно запаси-

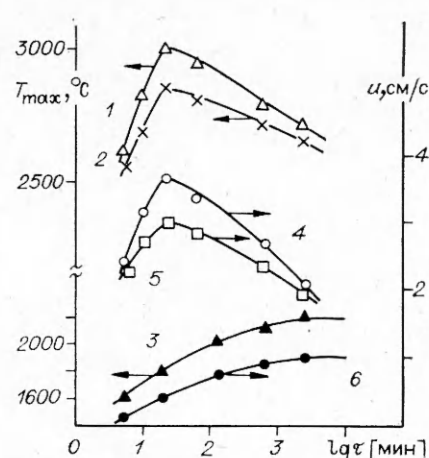


Рис. 3. Зависимость  $u$  и  $T_{max}$  от  $\tau$  (обозначения — см. рис. 1).

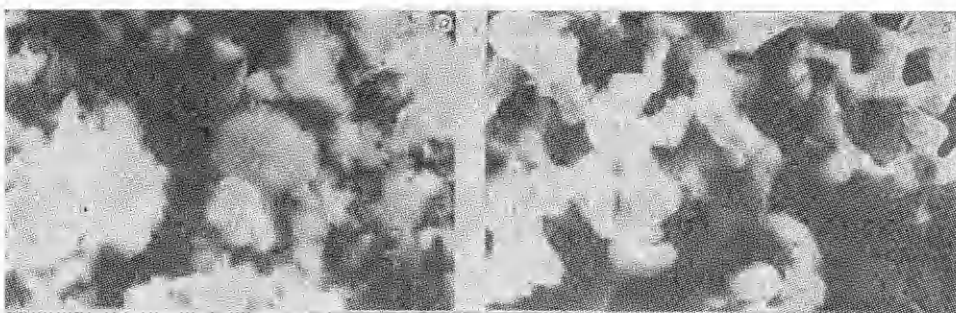


Рис. 4. Внешний вид частиц порошков ПЦрН-В (а) и ПЦрК-1 (б).

вирована. Так как в процессе смешения частицы циркония практически не раскалываются (это определяется достаточно высокой пластичностью чистого циркония), т. е. отсутствует образование участков с чистой поверхностью, по всей вероятности, являющихся местом протекания твердофазной реакции, то и образования карбида циркония практически не наблюдается. В то же время, как показано в [9], в реакцию гидролиза может вступать только связанный углерод, образующийся в системе в процессе смешения.

Таким образом, в случае применения циркония марки ПЦрН-В физико-химических превращений, приводящих к снижению параметров горения, в процессе смешения не происходит, а монотонное возрастание значений  $u$  и  $T_{\max}$  объясняется постепенным повышением степени однородности порошковой смеси. При использовании ПЦрК-1 и ПЦрК-3, имеющих частицы ярко выраженной дендритной формы, вид зависимостей аналогичен рассмотренным в [8, 9].

#### ЛИТЕРАТУРА

1. Мержанов А. Г., Боровинская И. П., Шкиро В. М. Государственный реестр открытий, № 287, 1984.
2. Мержанов А. Г., Боровинская И. П., Шкиро В. М. Самораспространяющийся высокотемпературный синтез тугоплавких соединений // Докл. АН СССР.—1972.—204.—С. 366—269.
3. Смоляков В. И., Некрасов Е. А., Максимов Ю. М. Закономерности образования карбидов титана и циркония в режиме горения // Карбиды и материалы на их основе.—Киев, 1983.—С. 51—54.
4. Смоляков В. И., Некрасов Е. А., Максимов Ю. М. Расчет параметров волны и закономерностей горения системы цирконий — углерод.—Деп. в ВИНИТИ. № 3183-81.
5. Бахман Н. И., Беляев А. Ф. Горение гетерогенных конденсированных систем.—М.: Наука, 1967.
6. Мамин С. С., Боровинская И. П., Мержанов А. Г. Термодинамический анализ возможности образования карбидов и нитридов титана, циркония, тантала методом СВС в режиме горения/АН СССР. ОИХФ.—Препр.—Черноголовка, 1977.
7. Шкиро В. М., Боровинская И. П. // Процессы горения в химической технологии и металлургии.—Черноголовка: ОИХФ АН СССР, 1975.—С. 253—258.
8. Епипин К. Л., Питюлин А. И. Влияние процессов смешения на закономерности горения плаштовых составов // ФГВ.—1986.—22, № 1.—С. 29—33.
9. Епипин К. Л., Богатов Ю. В., Питюлин А. И. Влияние времени смешения на характеристики горения плаштовых составов (смешение в жидкости) // Там же.—1986.—22, № 6.—С. 95—98.

п. Черноголовка

Поступила в редакцию 10/IV 1990,  
после доработки — 22/VIII 1990

УДК 662.581

А. Г. Струнина, Л. К. Демидова, Э. А. Бутакова, Е. В. Барзыкин

#### ГОРЕНИЕ МОДЕЛЬНЫХ МАЛОГАЗОВЫХ СИСТЕМ

Экспериментально изучен процесс горения модельных составов, характеризующийся наличием газовыделения в зоне прогрева. В качестве объектов исследования использованы железоциркониевый и хромоалюминиевый термиты с добавкой трехокиси молибдена. Изучено влияние количества выделяющей газ добавки, степени уплотнения составов и диаметра горящего образца на основные характеристики горения. Анализ особенностей процесса горения проведен с позиций кондуктивно-фильтрационного механизма теплопереноса.

При горении негазифицирующихся систем передача тепла определяется теплопроводностью [1], а в случае гибридных и пористых систем в газовом потоке определяющей может быть теплопередача фильтрующимися газами [2]. Горение малогазовых составов (с незначительным газовыделением) сопровождается наличием сложного кондуктивно-фильтрационного механизма теплопереноса.

При горении таких систем возможны смена ведущих процесс механизмов теплопереноса (от кондуктивного к теплопереносу газовым потоком и наоборот), химическое взаимодействие между перемещающимися раскаленными газами и компонентами исходной смеси (как при фильт-